

BULLETIN DES RELEVÉS NIVOMÉTRIQUES ET DES PRÉVISIONS HYDROLOGIQUES DU YUKON

Le 1^{er} avril 2022



Rédigé et publié par :
Direction des ressources en eau
Ministère de l'Environnement

**Yukon**

PRÉFACE

Le *Bulletin des relevés nivométriques et des prévisions hydrologiques du Yukon* est publié trois fois par année – au début des mois de mars, d’avril et de mai – par la Direction des ressources en eau du ministère de l’Environnement. Le Bulletin présente un sommaire des conditions hydrologiques et météorologiques hivernales du Yukon, ainsi que des mesures de l’épaisseur de la couche de neige et de son équivalent en eau provenant de 57 stations. Ces mesures servent à évaluer les probabilités d’inondations printanières dues aux embâcles ou à d’importantes crues printanières provoquées par la fonte des neiges. Il est à noter que d’autres phénomènes, comme les pluies estivales et la fonte des glaciers, peuvent influencer considérablement sur les niveaux d’eau annuels maximums dans certains bassins hydrographiques du Yukon.

Les conditions météorologiques du mois de mars au Yukon sont présentées sur deux cartes : la première illustre les anomalies de température (écart par rapport aux normales climatiques) et la deuxième montre les anomalies de précipitation. Une troisième carte représente l’accumulation de neige et son équivalent en eau sous la forme d’un pourcentage de la médiane historique pour chaque station, de même que l’équivalent en eau de la neige estimatif pour chacun des 11 bassins hydrographiques. Des données météorologiques et hydrologiques complémentaires pour chaque bassin sont communiquées au moyen d’une série de cinq graphiques, selon la disponibilité des données :

- **Figure A** : Équivalent en eau de la neige quotidien à partir de septembre à un endroit précis du bassin hydrographique, ce qui donne un aperçu de l’accumulation de neige au cours de l’hiver.
- **Figure B** : Estimation de l’équivalent en eau de la neige moyen actuel pour l’ensemble du bassin calculée à partir des relevés nivométriques, comparés avec les données historiques et utilisée en guise d’indicateur des volumes de ruissellement potentiels au printemps (en tenant compte du fait que la sublimation de la neige, l’évapotranspiration, la pluie et la fonte des glaciers influent considérablement sur le ruissellement).
- **Figure C** : Précipitations hivernales mensuelles (pluie et neige) comparées avec les données historiques (période de relevé de 1980 à 2021). Ces données complètent celles illustrées à la figure B.
- **Figure D** : Degrés-jours de gel cumulés (somme des températures quotidiennes inférieures à zéro) comparés avec les données historiques qui servent d’indicateurs de la rigueur de l’hiver et de l’épaisseur de la glace des rivières, des variables qui ont une incidence sur la débâcle printanière.
- **Figure E** : Estimation du débit quotidien ou niveau d’eau mesuré comparés avec les données historiques pour donner un aperçu des conditions hydrologiques du bassin.

On peut obtenir de l’information sur le Bulletin, l’accumulation de neige ou les prévisions hydrologiques en communiquant avec l’une des personnes suivantes :

Jonathan Kolot	Alexandre Mischler	Anthony Bier	Holly Goulding
Technologue en hydrologie	Technologue en hydrologie	Hydrologue	Hydrologue principale
867-667-3234	867-667-3144	867-667-5029	867-667-3223
jonathan.kolot@yukon.ca	alexandre.mischler@yukon.ca	anthony.bier@yukon.ca	holly.goulding@yukon.ca

Direction des ressources en eau, ministère de l’Environnement

Téléphone : 867-667-3171 ou (sans frais au Yukon, aux Territoires du Nord-Ouest et au Nunavut) 1-800-661-0408, poste 3171

Télécopieur : 867-667-3195 | Courriel : water.resources@yukon.ca

Le présent bulletin, tout comme les publications précédentes, est accessible au yukon.ca/fr/relevés-nivométriques.

ISSN 1705-883X

Veillez utiliser le titre suivant pour citer le présent document :

Bulletin des relevés nivométriques et des prévisions hydrologiques du Yukon, 1^{er} avril 2022

© Avril 2022

Direction des ressources en eau

Ministère de l'Environnement

Gouvernement du Yukon

C.P. 2703

Whitehorse (Yukon) Y1A 2C6

REMERCIEMENTS

Le Bulletin des relevés nivométriques fait partie du Programme des relevés nivométriques du Yukon, qui relève de la Direction des ressources en eau du ministère de l'Environnement du gouvernement du Yukon. D'autres organismes contribuent de manière importante au Programme et à la préparation du Bulletin en fournissant des données et de l'information :

- Responsable de la collecte des données, Service de la conservation des ressources naturelles, département de l'Agriculture des États-Unis
- Météorologiste, Section de la gestion des feux de forêt, ministère des Services aux collectivités du Yukon
- Responsable, Relevés hydrologiques du Canada, bureau de Whitehorse
- Ingénieur en gestion des eaux, Société d'énergie du Yukon
- Technologues en recherche, Université McMaster

Organismes collaborant avec la Direction des ressources en eau dans le cadre du Programme des relevés nivométriques :

- Ministère de l'Environnement de la Colombie-Britannique, Division de l'intendance des eaux
- Parcs Canada, parc national et réserve de parc national Kluane
- Ministère de la Voirie et des Travaux publics du Yukon
- Ministère de l'Énergie, des Mines et des Ressources du Yukon, Direction des inspections et du suivi de la conformité
- Ministère de l'Environnement du Yukon, Direction de la technologie et de la gestion de l'information
- Première Nation des Gwitchin Vuntut

AVIS DE NON-RESPONSABILITÉ

L'utilisateur comprend qu'il utilise les données à ses propres risques. L'utilisateur est le seul responsable de la vérification de l'exactitude, de la disponibilité, de la pertinence, de la fiabilité, de la convivialité, de l'exhaustivité ou de l'actualité des données.

L'utilisateur accepte les données en l'état et comprend que le gouvernement du Yukon ne fait aucune représentation ni ne donne aucune garantie (expresses ou implicites), qu'il s'agisse de garanties implicites de qualité marchande, d'adaptation à un usage particulier, d'absence de contrefaçon ou autre, quant à l'exactitude, à la disponibilité, à la pertinence, à la fiabilité, à la convivialité, à l'exhaustivité ou à l'actualité des données

En ce qui a trait à l'accès aux données, l'utilisateur accepte aussi qu'en aucun cas le gouvernement du Yukon ne sera tenu responsable (ni soumis à une obligation délictuelle ou contractuelle), d'une façon ou d'une autre, envers l'utilisateur ou une autre entité juridique pour ce qui est de l'exactitude, de la disponibilité, de la pertinence, de la fiabilité, de la convivialité, de l'exhaustivité ou de l'actualité des données, y compris, une perte de revenu ou de profit, ou d'un dommage direct, indirect, spécial, fortuit ou immatériel qui découlerait de l'utilisation des données ou qui y serait lié.

CONDITIONS MÉTÉOROLOGIQUES ET NIVOLOGIQUES SUR LE TERRITOIRE DU YUKON

Après un début d'hiver sec en octobre, la tendance s'est inversée et des précipitations supérieures à la normale ont été enregistrées pour la majeure partie du territoire jusqu'en février. La région de Watson Lake sort du lot : les totaux mensuels ont atteint de nouveaux records en novembre, en janvier, en février et en mars. En février, les précipitations ont été importantes dans bon nombre de localités. En effet, de nouveaux totaux mensuels records ont été enregistrés à Watson Lake, à Dawson et à Mayo; dans toutes les autres collectivités, sauf Old Crow, les données ont frôlé les records établis. La tendance s'est poursuivie en mars à Dawson et à Watson Lake. Bien que les anomalies de température globale moyennes pour la période d'octobre à mars aient été près ou légèrement au-dessus des normales¹ dans l'ensemble du territoire, les températures atteintes pendant les périodes de froid extrême de décembre et de janvier ont été parmi les plus basses enregistrées ces dernières années.

Octobre

En octobre, les températures ont été douces sur l'ensemble du territoire; toutes les stations météorologiques de mesure à long terme ont enregistré des températures légèrement plus chaudes que les normales. Les données relatives aux précipitations présentaient un portrait plus varié et une nette division nord-sud : le nord et le centre du Yukon ont enregistré des précipitations (pluie et neige) près ou légèrement au-dessus des normales pendant le mois, tandis que le sud du Yukon était plus près de 50 % des normales, sauf Watson Lake, où les données ne correspondaient qu'à 20 % des normales. Parmi les événements météorologiques notables, citons de la pluie verglaçante au milieu du mois à Dawson, qui a forcé la fermeture de la route durant plusieurs heures.

Novembre

Le mois de novembre a été généralement orageux dans le centre et le sud du Yukon sous le déplacement vers le nord d'une trajectoire de tempête après un mois d'octobre relativement calme. Bien que la plupart des tempêtes aient été relativement faibles, ce qui a entraîné des précipitations presque normales, un peu plus de 90 mm sont tombés sur Watson Lake pendant le mois, ce qui correspond à 30 % des valeurs normales. Les températures ont généralement oscillé entre 2 et 3 degrés au-dessus et en dessous des normales. Aucune tendance régionale particulière n'a été observée.

Décembre

Le mois de décembre a été marqué par des chutes de neige : toutes les stations enregistrant des relevés à long terme fiables ont mesuré des précipitations supérieures ou bien supérieures à la normale. Même si des chutes de neige entraînant des accumulations de 5 à 10 cm pendant plusieurs jours ne sont pas remarquables dans le sud du Canada, au Yukon, elles peuvent établir de nouveaux records mensuels. La seconde moitié du mois a été caractérisée par de telles chutes de neige dans le centre et le sud du territoire. À la fin du mois, Burwash avait enregistré des précipitations correspondant à 380 % des normales et Whitehorse, à 290 %. Des masses d'air arctique fréquentes et persistantes ont fait baisser les températures

¹ Les données historiques de température, de précipitations, d'équivalent en eau de la neige, de débit et de niveaux d'eau n'ont pas toujours été compilées sur une période assez longue, c'est-à-dire 30 ans, pour établir une « normale ». C'est pourquoi dans le présent document on parle de « moyenne historique » ou, tout simplement, de « moyenne ». Les données historiques auxquelles ce bulletin fait référence sont toujours suffisamment étendues dans le temps pour être représentatives des conditions hydrométéorologiques récentes.

en deçà des normales sur la majeure partie du territoire, quoique ces écarts aient été moins notables que pour les précipitations. Ces masses d'air froid, en rencontrant l'air plus chaud et plus humide provenant du golfe d'Alaska, ont été la principale cause des chutes de neige.

Janvier

Janvier a surtout été marqué par des masses d'air arctique qui ont recouvert l'ensemble du territoire au début du mois. Ces périodes froides n'ont toutefois pas duré, et la plupart des stations ont enregistré des températures mensuelles médianes très près des normales historiques. Des chutes de neige supérieures à la normale, provoquées par des masses d'air chaud venues du Pacifique opposées à des masses d'air arctique tôt dans la deuxième semaine du mois, sont tombées sur le sud et le centre du Yukon. La région de Watson Lake s'est distinguée encore une fois en recevant 99 mm, soit 320 % des précipitations normales pour janvier.

Février

On pourrait qualifier les conditions météorologiques de février de chaudes et d'humides causées par une tendance orageuse venue de l'ouest qui a laissé place à de l'air plus chaud provenant du sud du pays vers la fin du mois. À l'exception des régions d'Old Crow et de Mayo, les températures sur le territoire étaient de 3 à 7 degrés plus chaudes que les normales. Les précipitations se sont situées entre 250 % et 430 % des normales, sauf pour Old Crow (110 %) et Carcross (90 %). Il convient d'apporter une nuance quant aux anomalies de précipitations, car les normales pour février peuvent se situer entre 10 et 20 mm.

Mars

La tendance aux précipitations supérieures aux normales s'est poursuivie dans la majeure partie du territoire en mars. Cette tendance a été particulièrement marquée dans la région de Dawson et de Watson Lake, où les précipitations ont atteint 300 % et 450 % des valeurs normales. Old Crow est la seule localité où les précipitations ont été inférieures aux normales et n'ont atteint que 40 % de ces dernières. Cependant, il faut savoir que les précipitations normales en mars au Yukon varient entre 10 et 15 mm (ou 10 et 15 cm de neige) et qu'une chute de neige peut porter les valeurs mensuelles au-delà de 100 %. Les températures, qui ont été légèrement plus douces que les normales dans toutes les collectivités, s'expliquent par les journées ensoleillées et les nuits nuageuses qui ont empêché les températures de descendre très bas au-dessous de zéro.

Accumulation de neige

Au 1^{er} avril, l'accumulation de neige est très supérieure à la normale pour l'ensemble du Yukon. Les profils de neige individuels pour de nombreuses régions confirment des accumulations de neige records : dans 33 des 57 stations, les données enregistrées étaient presque égales, voire supérieures aux records historiques.

Les estimations de l'accumulation de neige moyennes dans les bassins hydrographiques varient entre 140 % de la médiane pour la rivière Alsek et 200 % pour le centre du Yukon. Dans les 11 bassins qui font l'objet d'une surveillance, l'accumulation de neige estimée a été la plus élevée jamais enregistrée dans 8 d'entre eux :

- bassin central du fleuve du Yukon (Carmacks) – 200 %;
- bassin inférieur du fleuve Yukon (Dawson) – 199 %;
- bassin de la rivière White – 194 %;
- bassin de la rivière Liard – 188 %;
- bassin de la rivière Teslin – 172 %;
- bassin de la rivière Pelly – 169 %;
- bassin de la rivière Peel – 150 %;
- bassin de la rivière Stewart – 147 %.

Les estimations pour le bassin supérieur du fleuve Yukon (lacs du Sud/Whitehorse) (145 %), le bassin de la rivière Porcupine (144 %) et le bassin de la rivière Alsek (140 %) étaient au-dessus des médianes historiques.

En général, les relevés nivométriques du 1^{er} avril font état de l'accumulation de neige maximale pour la plupart des régions du territoire. Quoique l'accumulation puisse encore s'accroître au début du mois d'avril, elle est normalement inférieure au niveau maximal dans la plupart des régions le 1^{er} mai.

CONDITIONS D'ÉCOULEMENT ET PERSPECTIVES POUR LE YUKON

L'estimation de l'écoulement hivernal est basée sur une combinaison de mesures hivernales prises périodiquement, de données historiques et de tendances régionales. Cependant, tous les sites n'ont pas été visités récemment. Il est donc à noter que les estimations de l'écoulement sont provisoires pour toutes les stations.

Les estimations de l'écoulement et des niveaux d'eau aux stations d'échantillonnage sont soit inférieures aux moyennes, soit égales aux maximums historiques, ou très près, pour un 1^{er} avril. Les estimations pour les rivières Alsek, White et Liard et le fleuve Yukon sont près des maximums historiques tandis que les données pour le lac Teslin et les rivières Pelly et White sont supérieures aux valeurs moyennes. Les données pour la rivière Stewart sont près des moyennes, tandis que celles pour les rivières Porcupine et Peel sont inférieures. Les données pour le lac Marsh sont en deçà des moyennes et résultent de la stratégie de gestion d'Énergie Yukon au début des crues printanières.

L'accumulation de neige record dans un grand nombre de bassins augmente la probabilité de crues printanières importantes et de niveaux d'eau élevés dans les lacs. Durant la période de fonte, les petits cours d'eau atteignent un niveau maximal avant les plus grands ruisseaux et les rivières. On s'attend à des débits importants dans les petits cours d'eau pendant les crues printanières à l'échelle du Yukon, qui pourraient se répandre sur les routes.

Le moment où de tels niveaux seront atteints et leur ampleur dépendra des tendances au printemps. Un adoucissement soudain de la température en avril ou au début mai pourrait favoriser la formation d'embâcles sur certains cours d'eau. Une fonte tardive suivie d'une hausse continue de la température de l'air ou de pluies abondantes pourrait donner lieu à un haut débit de ruissellement et, de ce fait, porter à un niveau élevé le débit maximal des cours d'eau en mai et en juin. Les conditions météorologiques au printemps et à l'été influenceront sur les débits et le niveau des lacs dans les bassins touchés par la fonte des glaciers.

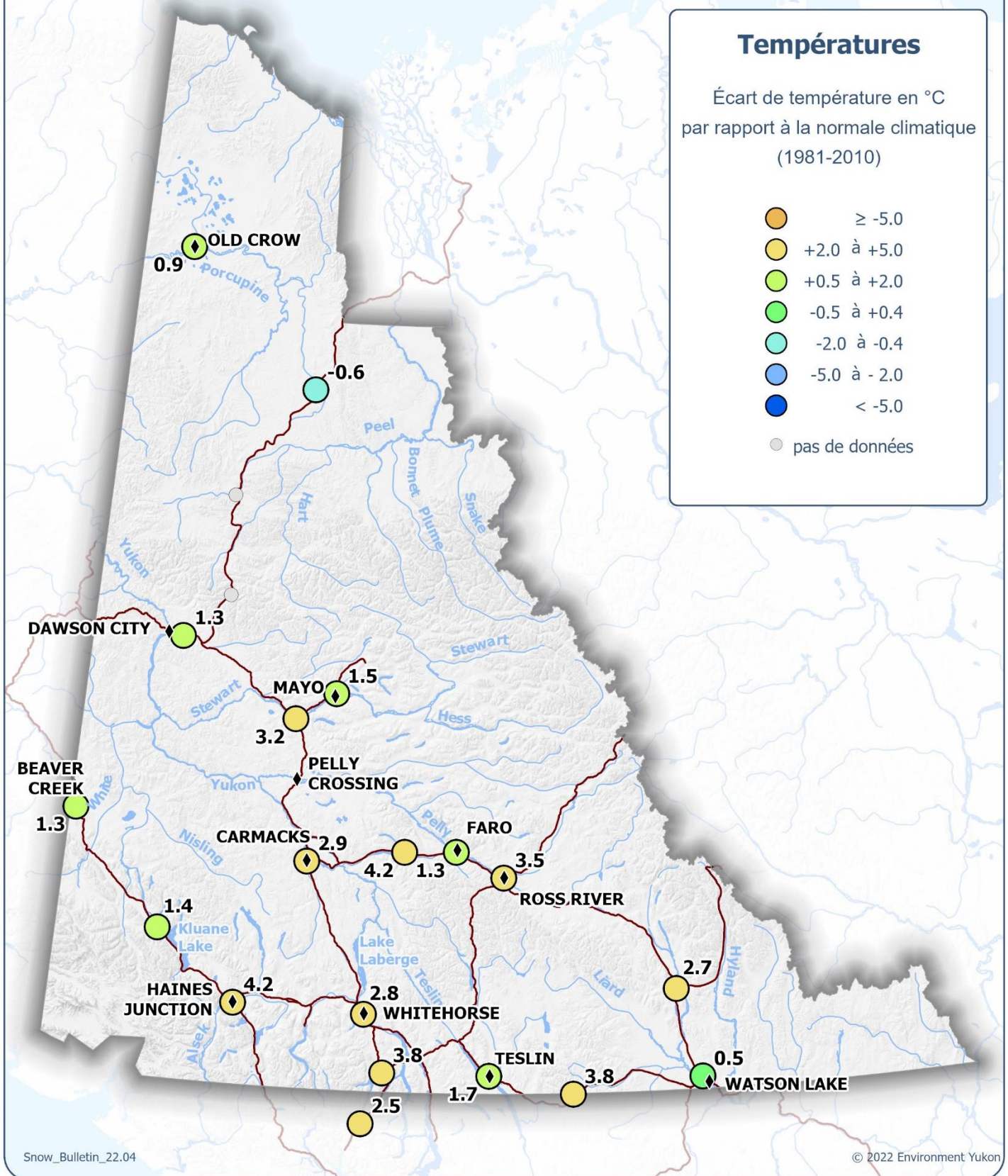
Anomalies des températures - Mars 2022

Territoire du Yukon

Températures

Écart de température en °C
par rapport à la normale climatique
(1981-2010)

- ≥ -5.0
- +2.0 à +5.0
- +0.5 à +2.0
- -0.5 à +0.4
- -2.0 à -0.4
- -5.0 à -2.0
- < -5.0
- pas de données



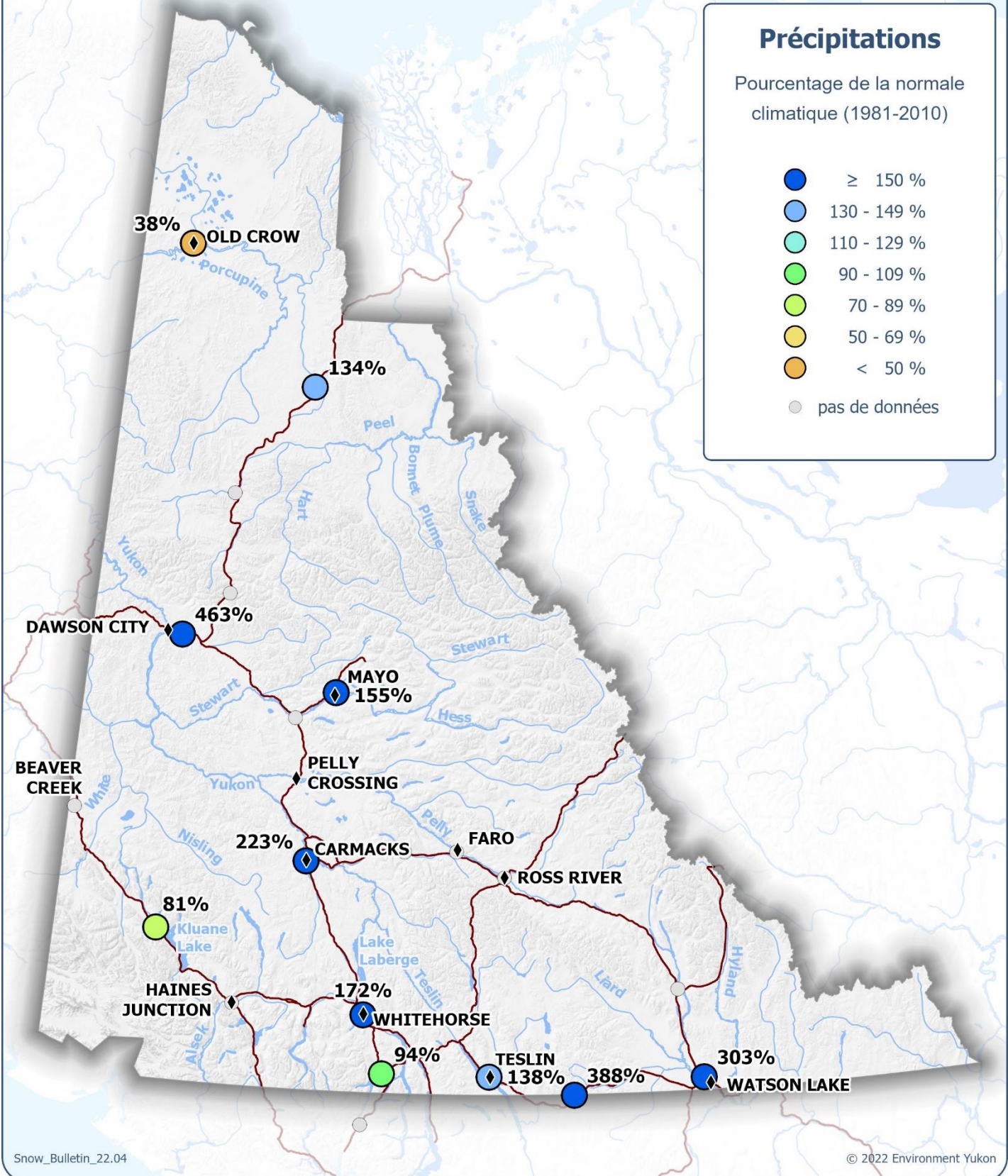
Précipitations - Mars 2022

Territoire du Yukon

Précipitations

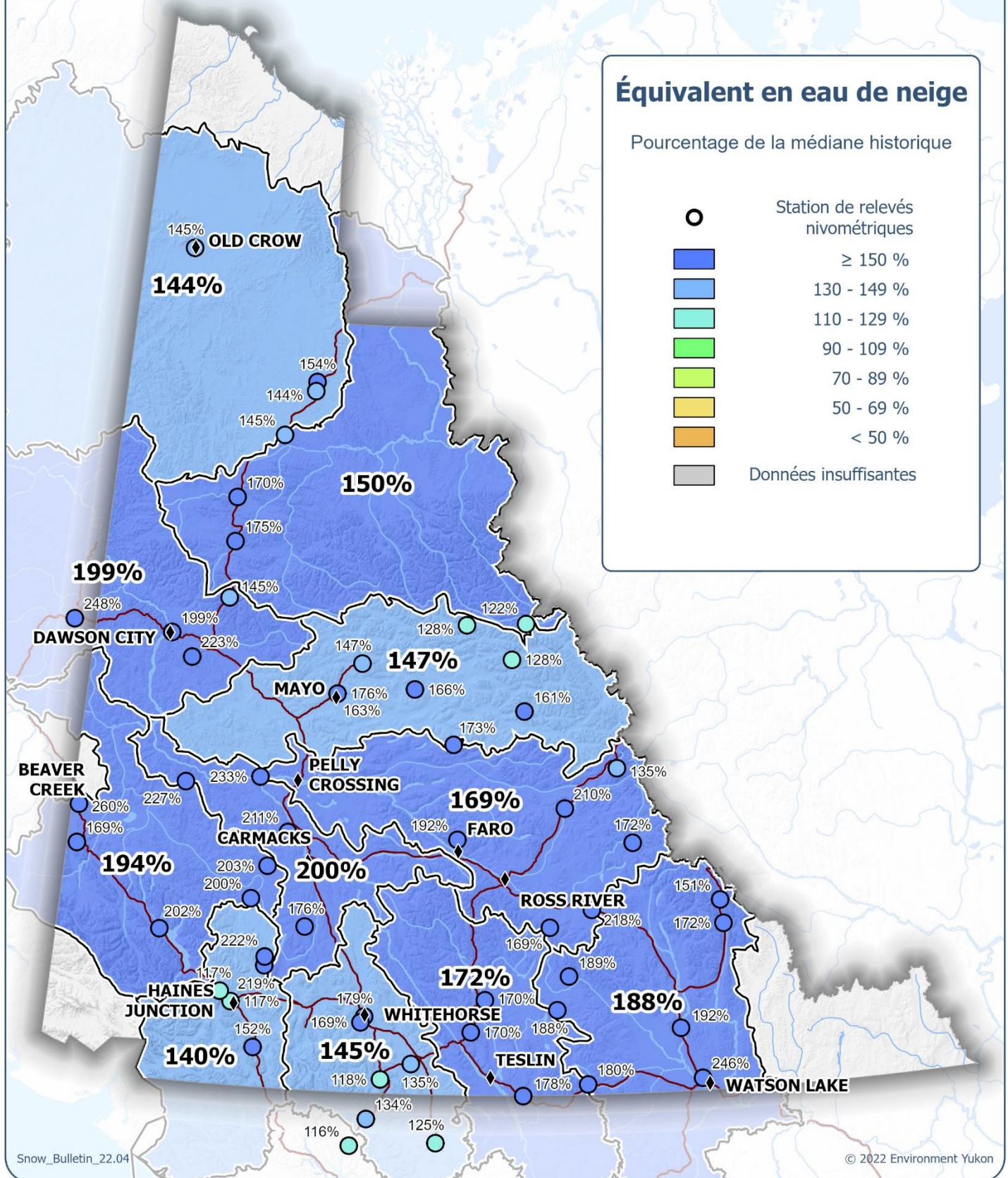
Pourcentage de la normale climatique (1981-2010)

- ≥ 150 %
- 130 - 149 %
- 110 - 129 %
- 90 - 109 %
- 70 - 89 %
- 50 - 69 %
- < 50 %
- pas de données



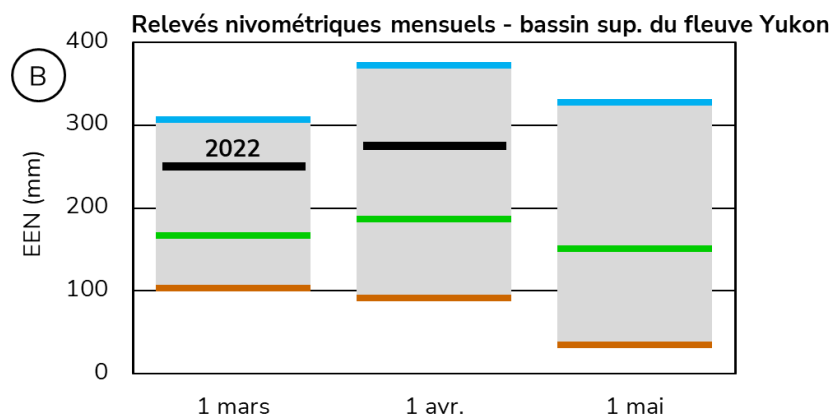
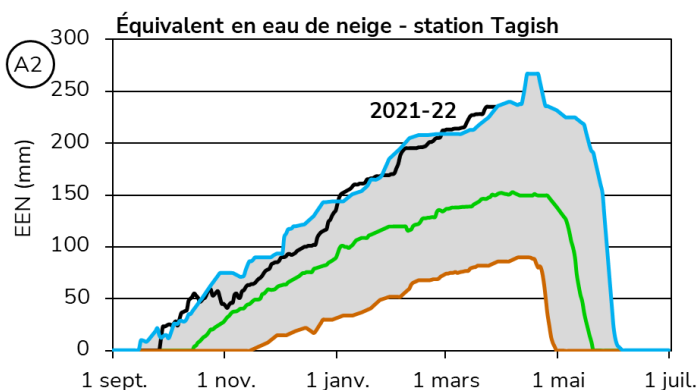
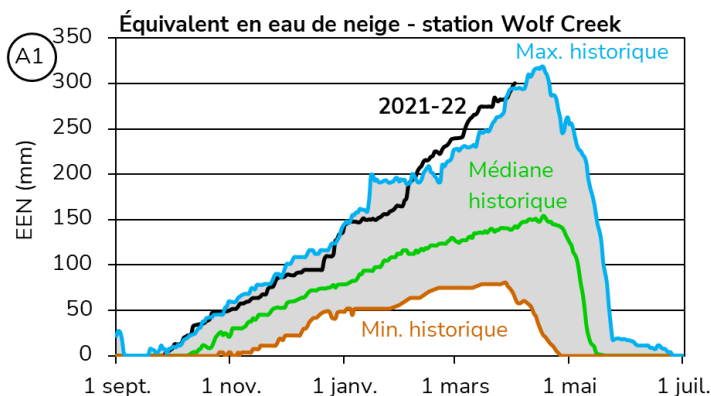
Équivalent en eau de neige - 1^{er} avril 2022

Territoire du Yukon

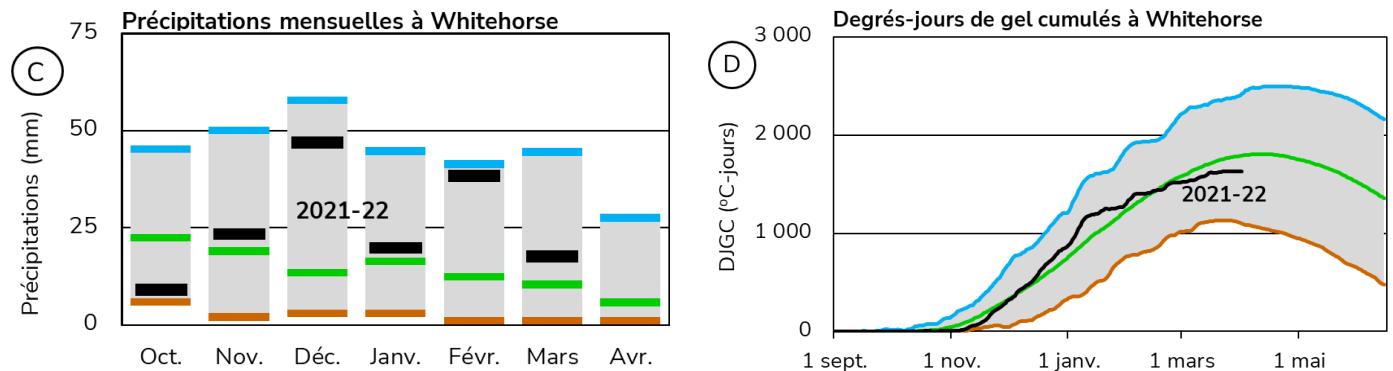


BASSIN SUPÉRIEUR DU FLEUVE YUKON (LACS DU SUD/WHITEHORSE)

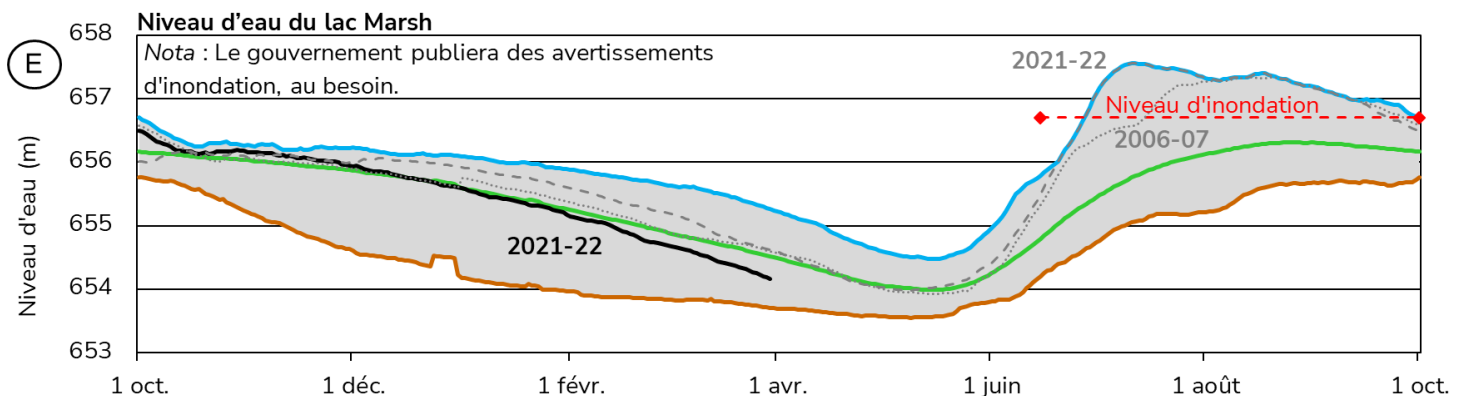
À la station subalpine du ruisseau Wolf, l'équivalent en eau de la neige est estimé à **253 %** de la **médiane historique** (figure A1). À la station Tagish, il est estimé à **157 %** de la **médiane historique** (figure A2). Il est à noter que dans les années, comme celle-ci, où l'accumulation de neige est grande, le coussin à neige de la station du ruisseau Wolf peut être déplacé par les conditions météorologiques et, par conséquent, enregistrer un équivalent en eau de la neige plus élevé que les précipitations réelles. Au 1^{er} avril, l'équivalent en eau de la neige moyen dans le bassin supérieur du fleuve Yukon est estimé à **145 %** de la **médiane historique**, soit à **275 mm** (figure B). Il s'agit d'une **accumulation de neige importante** pour la région.



Après des **conditions sèches** au mois d'octobre, les précipitations mensuelles à l'aéroport de Whitehorse ont été **supérieures à la médiane** pendant tout l'hiver (figure C). Au 1^{er} avril, les précipitations cumulatives sont **bien supérieures à la médiane**; elles sont mesurées à **156 %** de la normale pour la période d'octobre à mars. Les degrés-jours de gel cumulés sont **légèrement inférieurs à la moyenne**, soit à 1 630 °C-jours (figure D), ce qui porte à croire que l'épaisseur du couvert de glace sur les rivières et les lacs de la région est **près des normales**. La dégradation du couvert de glace reste minimale au 1^{er} avril.

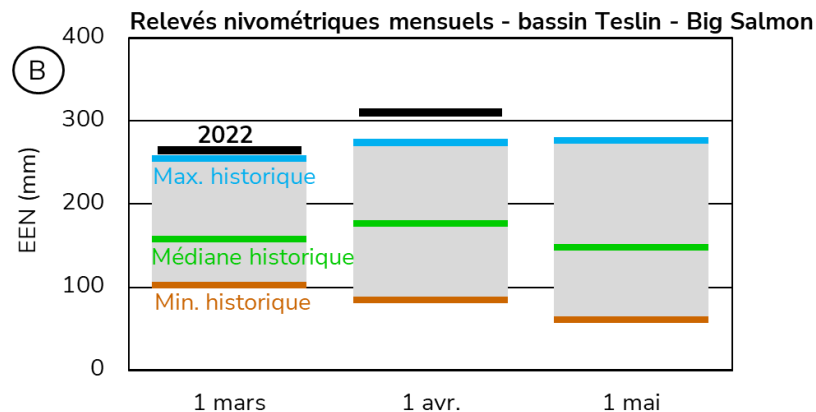


L'élévation du niveau d'eau (par rapport au niveau de la mer) du lac Marsh est actuellement **inférieure à la moyenne** (figure E), résultat de la stratégie de gestion d'Énergie Yukon au début des crues printanières. Les niveaux d'eau dans les lacs du Sud dépendent de l'effet combiné de la fonte des neiges, des précipitations estivales et de la fonte des glaciers. Les conditions de neige actuelles portent à croire que les niveaux d'eau seront **supérieurs à la moyenne** cet été. Toutefois, les conditions météorologiques au printemps et à l'été détermineront le niveau maximal dans le lac Marsh, qui est habituellement atteint à la fin de l'été et qui s'explique par un ruissellement glaciaire maximal et de fortes précipitations. Un temps doux ou des précipitations donneraient lieu à des **ruissellements importants et débits de pointe élevés**, notamment dans les cours d'eau qui traversent la route de l'Alaska, la route du Klondike Nord et d'autres voies de circulation dans la région de Whitehorse.

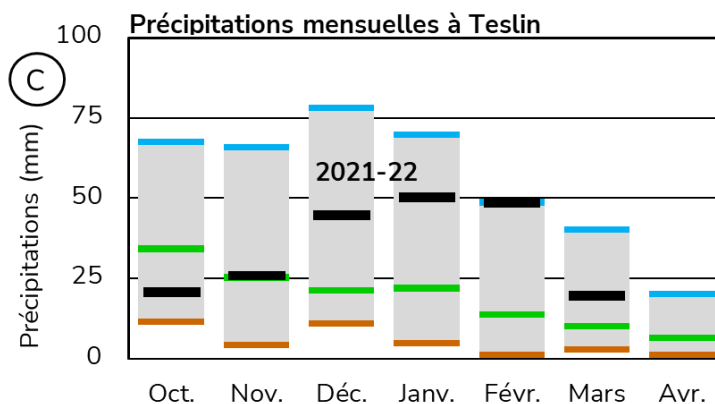


BASSIN DE LA RIVIÈRE TESLIN

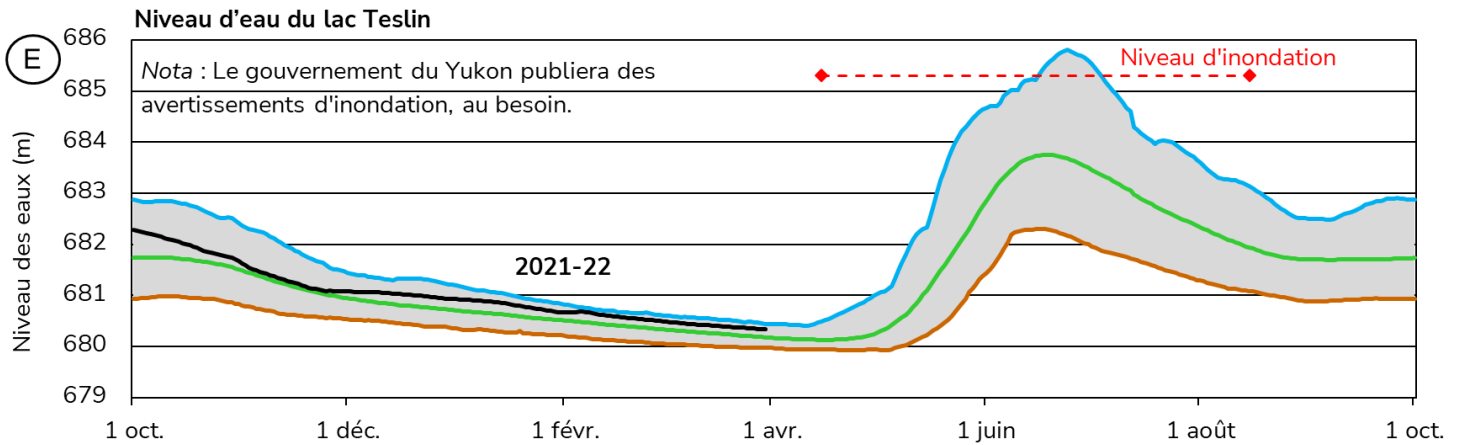
Au 1^{er} avril, l'équivalent en eau de la neige moyen du bassin de la rivière Teslin est estimé à **172 %** de la **médiane historique**, soit à **310 mm** (figure B). Il s'agit de l'**estimation de l'accumulation de la neige la plus élevée jamais enregistrée** pour ce bassin (depuis 1980).



À Teslin, les précipitations mensuelles sont **supérieures à la médiane** depuis décembre (figure C). Au 1^{er} avril, les précipitations cumulatives sont **supérieures à la médiane** et atteignent **142 %** des valeurs normales pour la période d'octobre à mars.

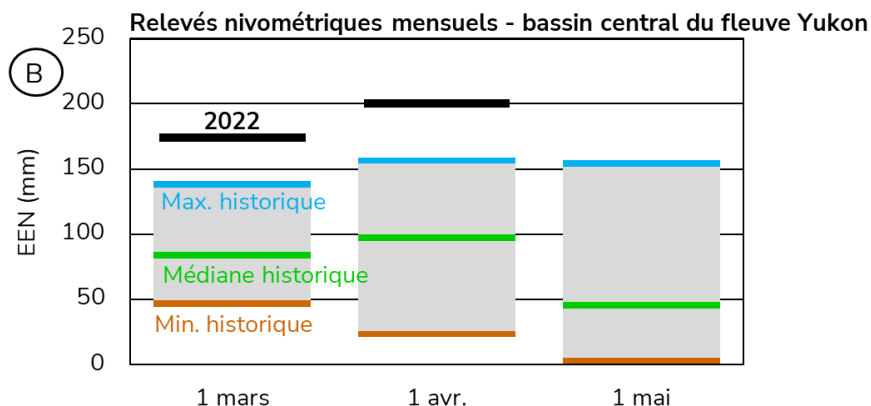


L'élévation du niveau d'eau (par rapport au niveau de la mer) du lac Teslin est actuellement **supérieure à la moyenne** (figure E). En général, le niveau du lac Teslin est à son maximum vers la fin juin et est principalement attribuable à la fonte des neiges. L'accumulation de neige **record** et le niveau d'eau **supérieur à la moyenne** portent à croire que les niveaux d'eau pourraient être **bien supérieurs à la moyenne** cet été. Les niveaux maximums dépendront des conditions au printemps. Des températures douces ou des précipitations donneraient lieu à des **ruissellements importants et des débits de pointe élevés**, notamment dans les cours d'eau qui traversent la route de l'Alaska et la route Canol Sud.

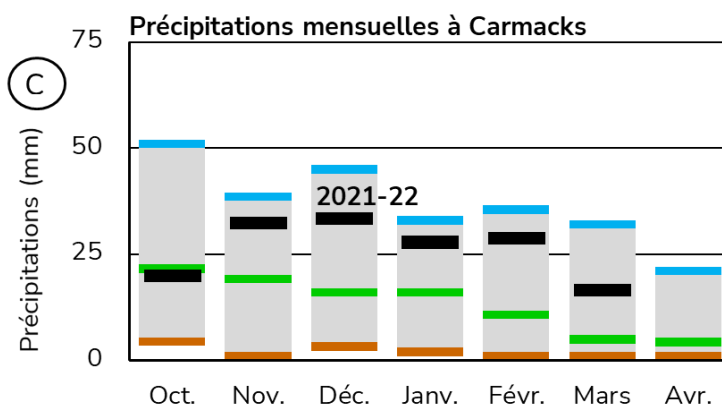


BASSIN CENTRAL DU FLEUVE YUKON (RÉGION DE CARMACKS)

Au 1^{er} avril, l'équivalent en eau de la neige moyen dans le bassin central du fleuve Yukon est estimé à **200 %** de la **médiane historique**, soit à **200 mm** (figure B). Il s'agit de l'**estimation de l'accumulation de la neige la plus élevée jamais enregistrée** pour ce bassin (depuis 1980).



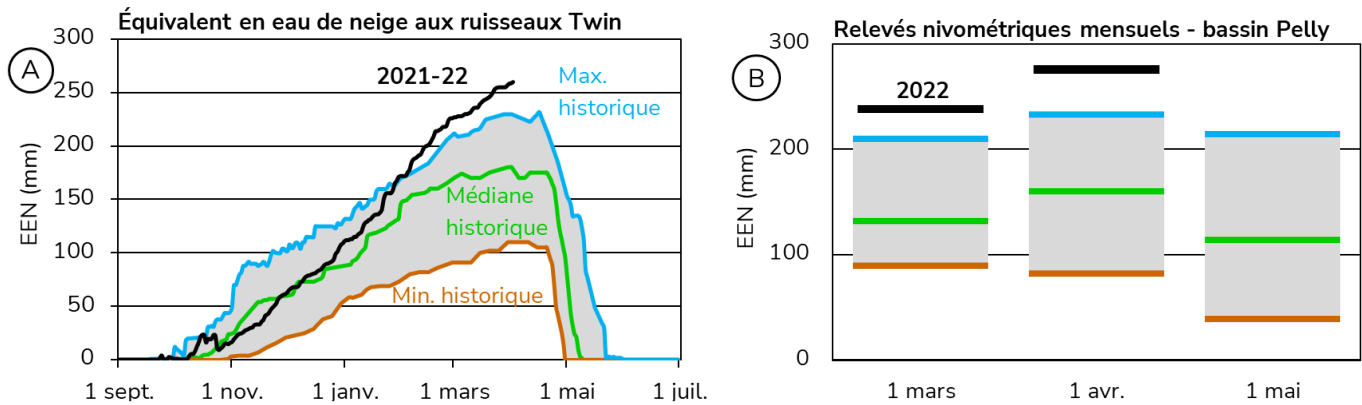
À Carmacks, les précipitations mensuelles sont **supérieures à la médiane** depuis novembre (figure C). Au 1^{er} avril, les précipitations cumulatives sont **bien supérieures à la médiane** et correspondent à **223 %** des valeurs normales pour la période d'octobre à mars.



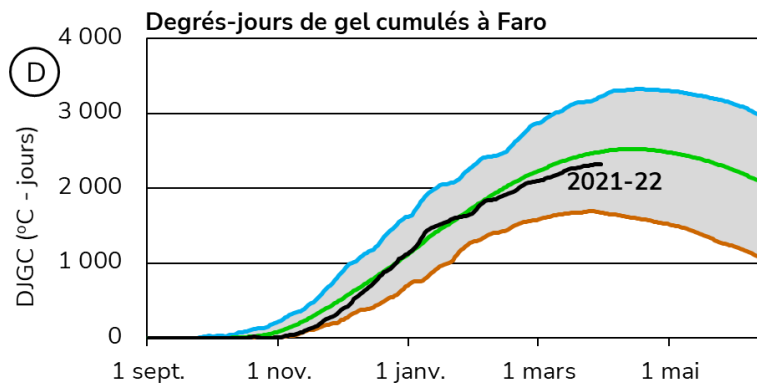
Les niveaux d'eau dans les rivières de la région de Carmacks sont susceptibles d'être **bien supérieurs à la moyenne** au printemps et à l'été, et les **probabilités de débits de pointe élevés en mai et en juin sont grandes**, notamment dans les cours d'eau qui traversent la route du Klondike Nord et la route Robert-Campbell. Un adoucissement soudain et continu de la température de l'air en avril ou au début mai pourrait **favoriser la formation d'embâcles**.

BASSIN DE LA RIVIÈRE PELLY

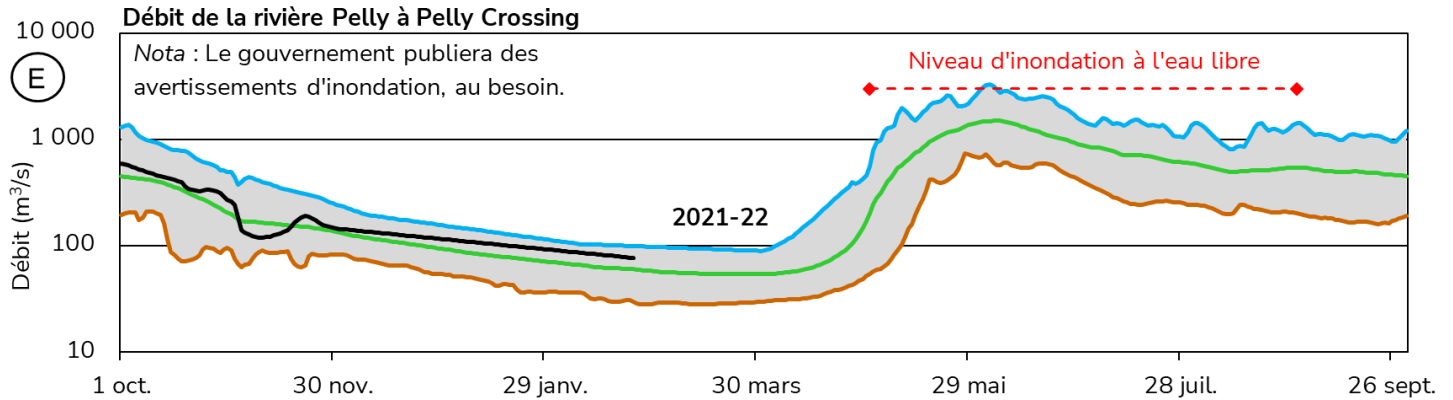
À la station des ruisseaux Twin, l'équivalent en eau de la neige est estimé à **146 %** de la **médiane historique** (figure A). Au 1^{er} avril, l'équivalent en eau de la neige moyen dans le bassin de la rivière Pelly est estimé à **169 %** de la **médiane historique**, soit à **276 mm** (figure B). Il s'agit de l'**estimation de l'accumulation de la neige la plus élevée jamais enregistrée** pour ce bassin (depuis 1980).



Aucune donnée sur les précipitations n'a été enregistrée à Faro, mais les observations relatives à l'accumulation de la neige suggèrent des valeurs **supérieures aux normales climatiques**. À Faro, les degrés-jours de gel cumulés sont **légèrement inférieurs à la moyenne**, soit à 2 330 °C-jours (figure D), ce qui porte à croire que l'épaisseur du couvert de glace des rivières et des lacs de la région est **près de la normale**. Celui-ci n'a pas encore commencé à se dégrader.

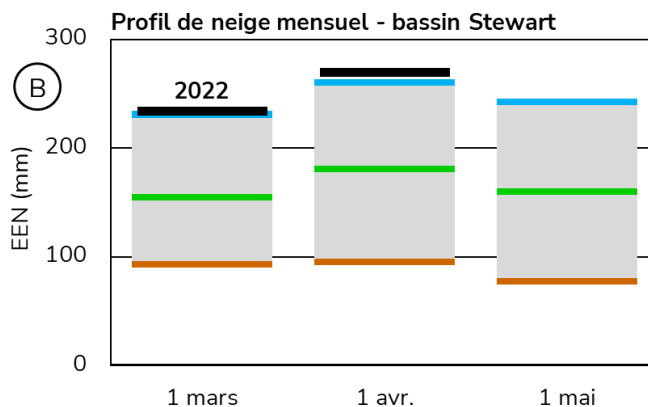
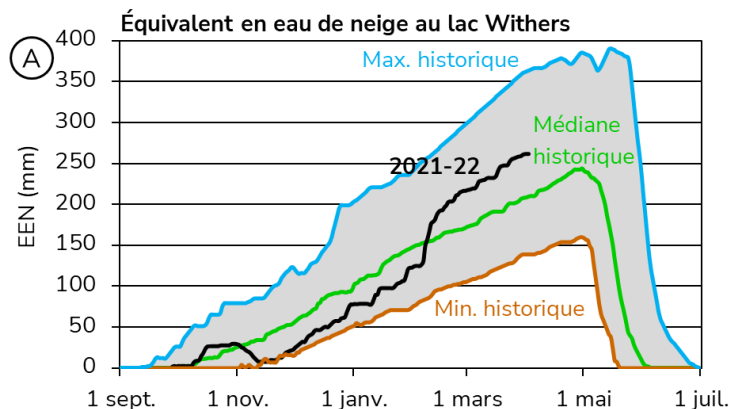


Le débit estimé de la rivière Pelly à Pelly Crossing est actuellement **supérieur à la moyenne** (figure E). L'accumulation de neige **record** dans le bassin indique que les **probabilités d'un débit de pointe élevé en mai et en juin sont grandes**, notamment dans les cours d'eau qui traversent la route Robert-Campbell et la route Canol. Un adoucissement soudain et continu de la température de l'air en avril ou au début mai pourrait **favoriser la formation d'embâcles**.

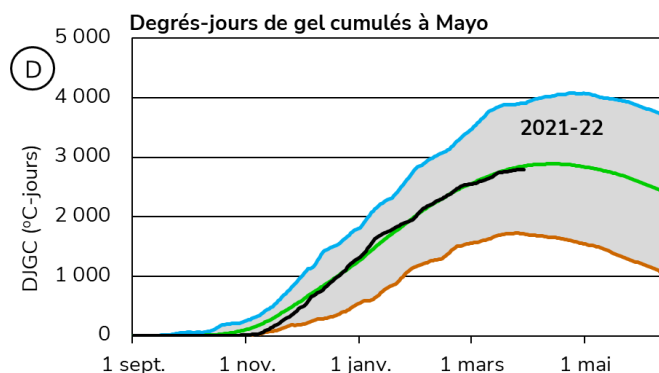
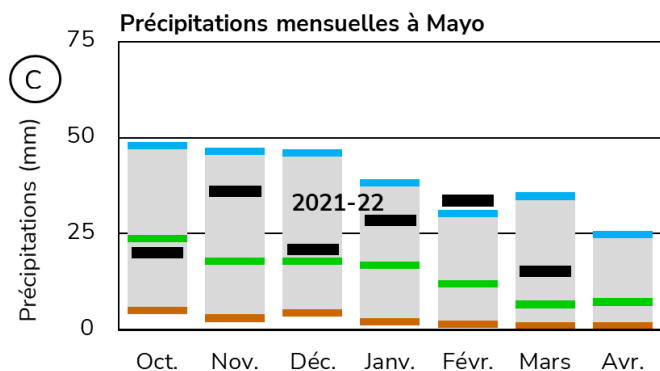


BASSIN DE LA RIVIÈRE STEWART

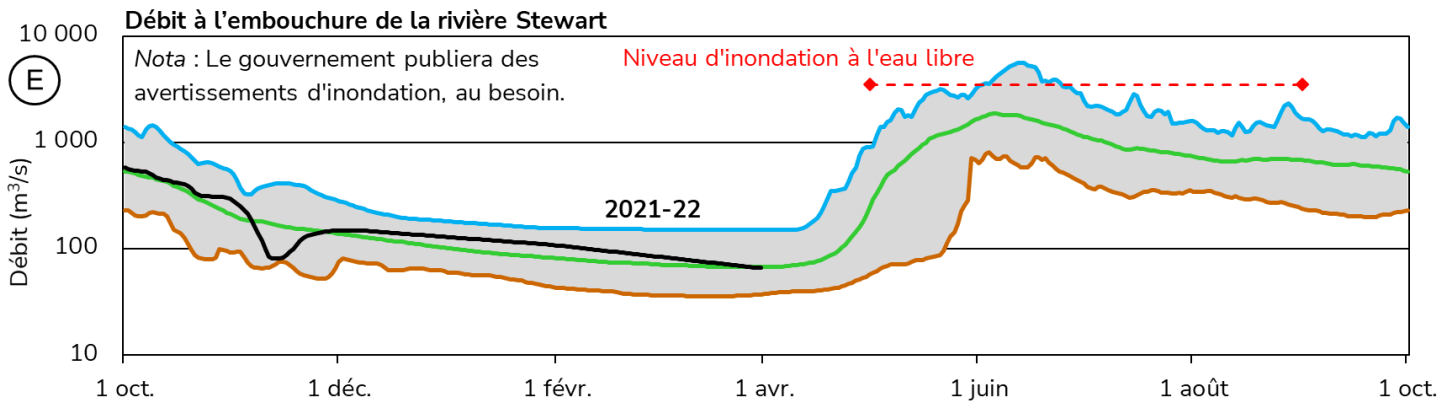
À la station météorologique du lac Withers, l'équivalent en eau de la neige est estimé à **125 %** de la **médiane historique** (figure A). Au 1^{er} avril, l'équivalent en eau de la neige moyen dans le bassin de la rivière Stewart est estimé à **147 %** de la **médiane historique**, soit à **270 mm** (figure B). Il s'agit de l'**estimation de l'accumulation de la neige la plus élevée jamais enregistrée** (depuis 1980) pour ce bassin.



À l'aéroport de Mayo, les précipitations mensuelles sont **supérieures à la médiane** depuis novembre. Le mois de février a été marqué par des **précipitations records** (figure C). Au 1^{er} avril, les précipitations cumulatives sont **supérieures à la médiane** et correspondent à **142 %** des normales climatiques pour la période d'octobre à mars. Les degrés-jours de gel cumulés sont **près de la moyenne**, soit à 2 800 °C-jours (figure D), ce qui porte à croire que l'épaisseur du couvert de glace sur les rivières et les lacs de la région est **près des normales**. Celui-ci n'a pas encore commencé à se dégrader.

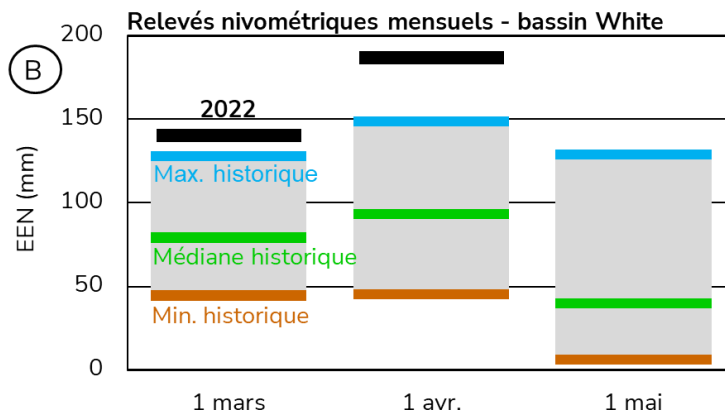


Le débit estimé à l'embouchure de la rivière Stewart est actuellement **près de la moyenne** (figure E). L'accumulation de neige **record** dans ce bassin hydrographique indique que les **probabilités de débits de pointe élevés en avril et au début mai sont grandes**, notamment dans les cours d'eau qui traversent la route Silver Trail et d'autres voies de circulation locales. Un adoucissement soudain et continu de la température de l'air en avril ou au début mai pourrait **favoriser la formation d'embâcles**.

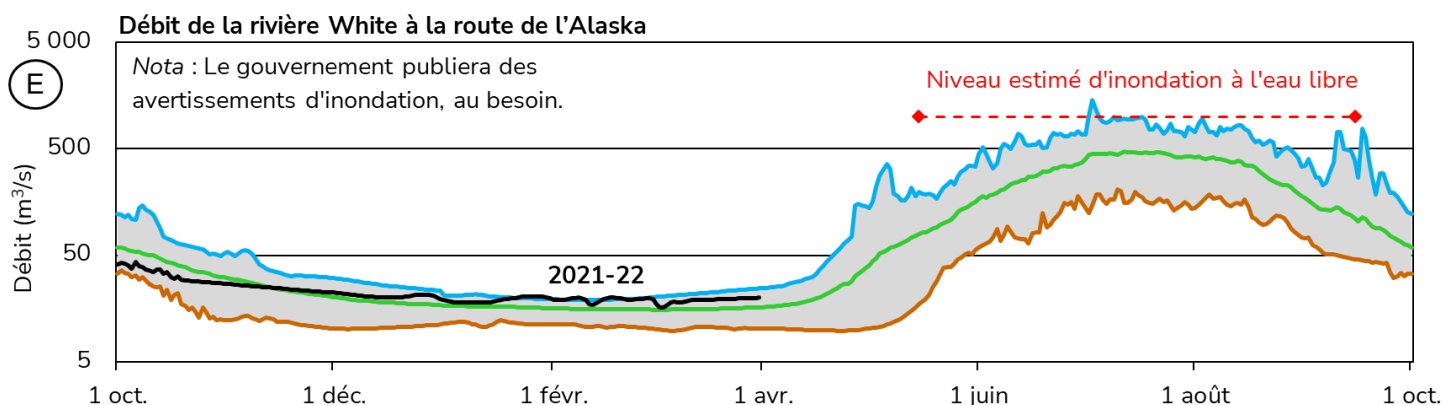


BASSIN DE LA RIVIÈRE WHITE

Au 1^{er} avril, l'équivalent en eau de la neige moyen dans le bassin de la rivière White est estimé à **194 %** de la **médiane historique**, soit à **187 mm** (figure B). Il s'agit de l'**estimation de l'accumulation de la neige la plus élevée jamais enregistrée** pour ce bassin (depuis 1980).

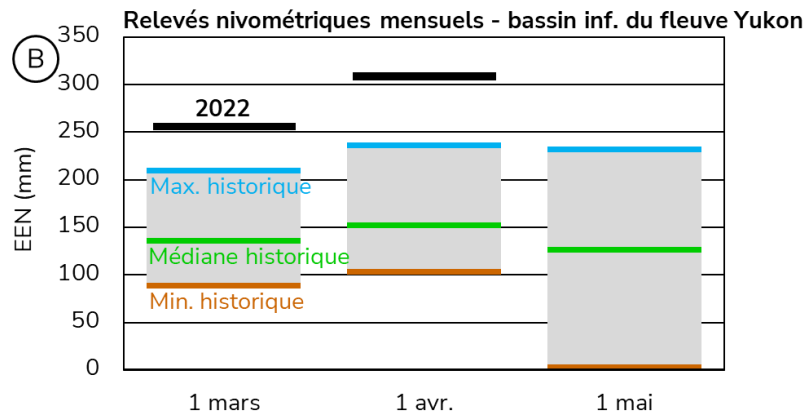


Le débit estimé de la rivière White à la route de l'Alaska est actuellement **supérieur à la moyenne** (figure E). Le débit élevé dans ce bassin hydrographique s'explique surtout par la fonte des neiges en montagne et la fonte des glaciers, qui sont grandement influencées par les températures et les précipitations estivales. L'accumulation de neige **record** est susceptible de donner lieu à des **crues printanières d'un volume bien supérieur à la moyenne**. Du temps doux ou des anomalies de précipitations au cours des quatre prochains mois pourraient vraisemblablement donner lieu à des **débits de pointe élevés**, notamment dans les cours d'eau qui traversent la route de l'Alaska dans la région de Kluane.

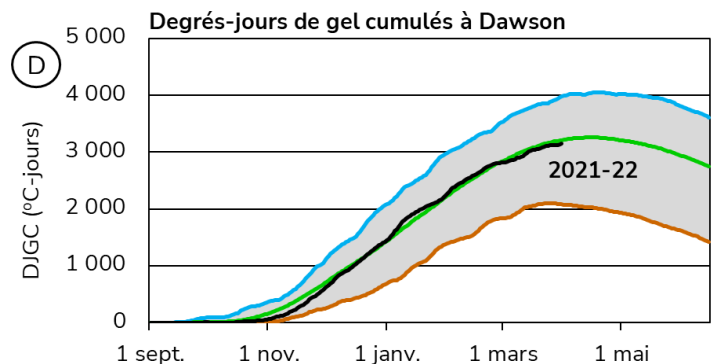
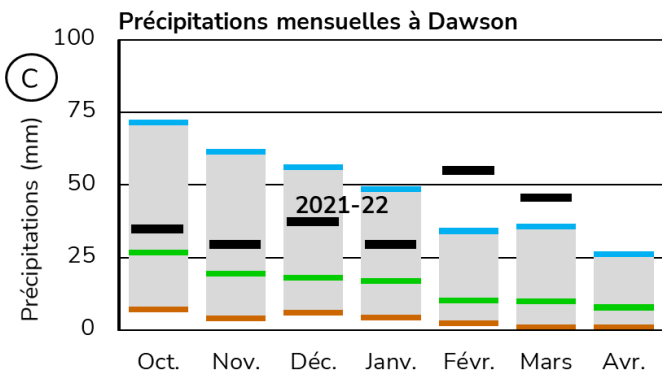


BASSIN INFÉRIEUR DU FLEUVE YUKON (RÉGION DE DAWSON)

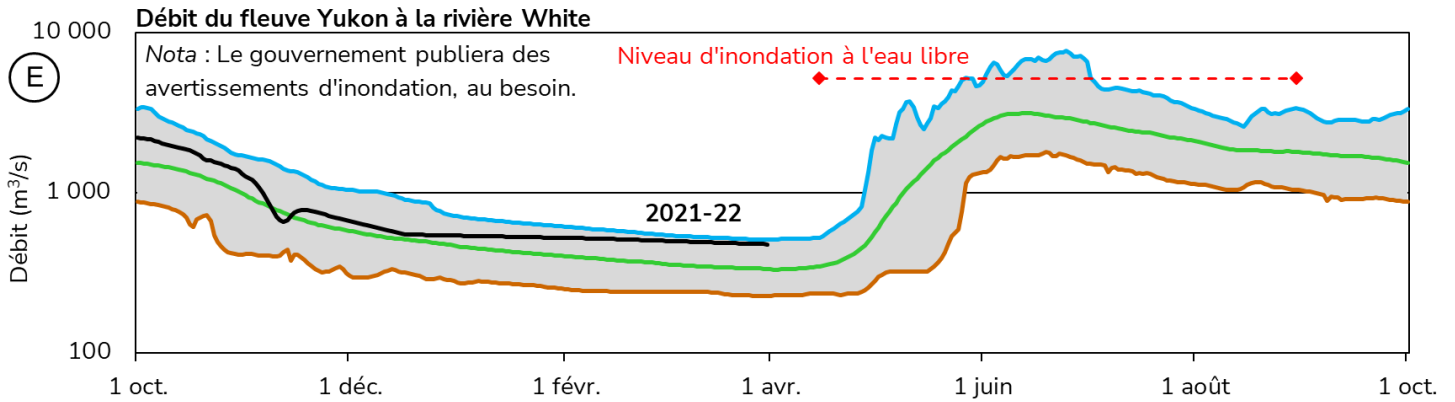
Au 1^{er} avril, l'équivalent en eau de la neige moyen dans le bassin inférieur du fleuve Yukon est estimé à **199 %** de la **médiane historique**, soit à **309 mm** (figure B). Il s'agit de l'**estimation de l'accumulation de la neige la plus élevée jamais enregistrée** pour ce bassin (depuis 1980).



Les précipitations mensuelles à l'aéroport de Dawson ont été **supérieures à la médiane** tout l'hiver et ont établi de **nouveaux records** pour février et mars (figure C). Au 1^{er} avril, les précipitations cumulatives sont **bien supérieures à la médiane** et correspondent à **193 %** des normales climatiques pour la période d'octobre à mars. Les degrés-jours de gel cumulés sont **près de la moyenne**, soit à 3 150 °C-jours (figure D), ce qui porte à croire que l'épaisseur du couvert de glace sur les rivières et les lacs de la région est **près des normales**. Celui-ci n'a pas encore commencé à se dégrader.

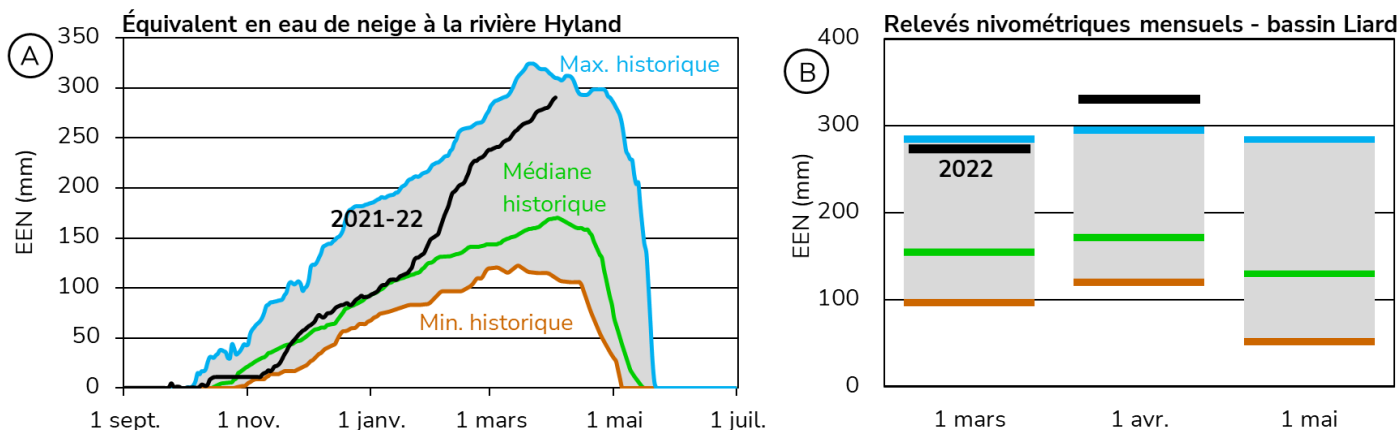


Le débit estimé du fleuve Yukon à la rivière White est **bien supérieur à la moyenne** (figure E). L'accumulation de neige qui atteint des niveaux **bien supérieurs à la médiane** ou **records** dans les bassins en amont laisse croire que les **probabilités de débits de pointe élevés en mai et en juin sont grandes**, notamment dans les cours d'eau qui traversent la route Klondike, la route Dempster et la route Top of the World. Avant que de tels débits soient atteints, un adoucissement soudain et continu de la température de l'air pourrait **favoriser la formation d'embâcles importants**. Ces observations valent aussi pour la rivière Klondike.

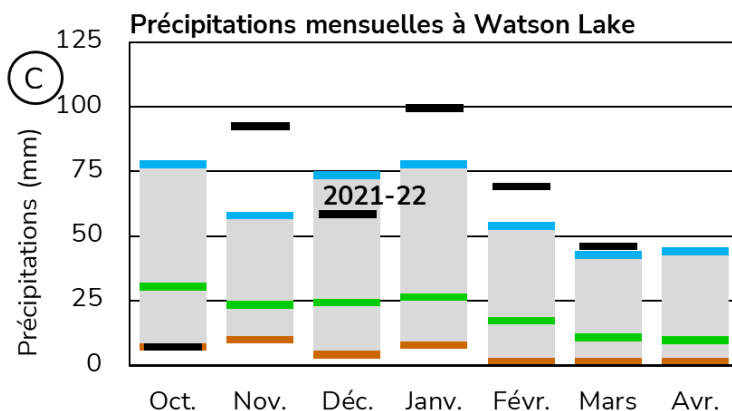


BASSIN DE LA RIVIÈRE LIARD

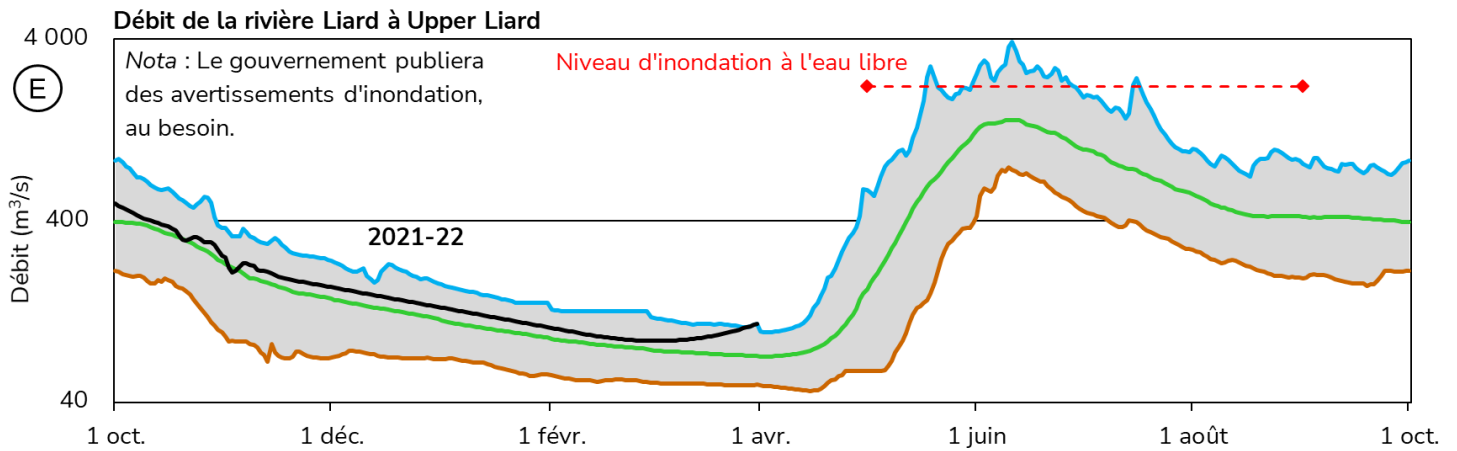
À la station météorologique Hyland, l'équivalent en eau de la neige est estimé à **171 %** de la **médiane historique** (figure A). Au 1^{er} avril, l'équivalent en eau de la neige moyen dans le bassin de la rivière Liard est estimé à **188 %** de la **médiane historique**, soit à **331 mm** (figure B). Il s'agit de l'**estimation de l'accumulation de la neige la plus élevée jamais enregistrée** pour ce bassin (depuis 1980).



Après des **conditions sèches records** en octobre, de nouveaux **records d'humidité** ont été atteints à l'aéroport de Watson Lake en novembre, en janvier, en février et en mars (figure C). Au 1^{er} avril, les précipitations cumulatives sont **bien supérieures à la médiane** et correspondent à **234 %** des normales climatiques pour la période d'octobre à mars.

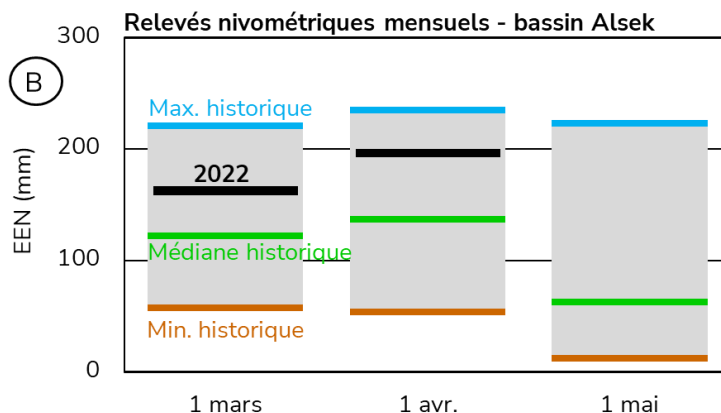


Le débit estimé de la rivière Liard à Upper Liard est actuellement **bien supérieur à la moyenne** (figure E). L'accumulation de neige **record** dans le bassin indique que les **probabilités de débits de pointe élevés en mai et en juin sont grandes**, notamment dans les cours d'eau qui traversent la route de l'Alaska et la route Robert-Campbell.

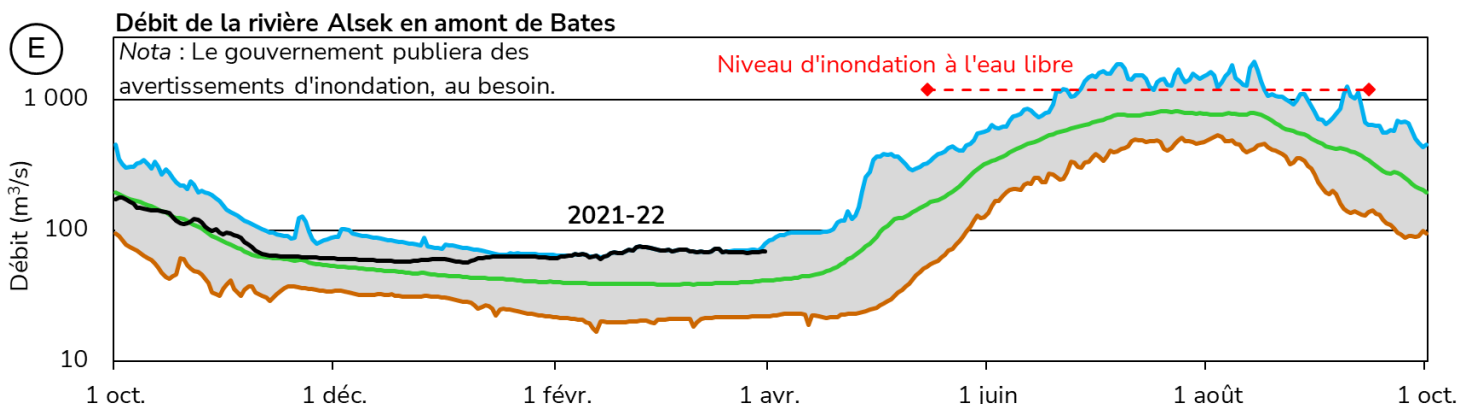


BASSIN DE LA RIVIÈRE ALSEK

Au 1^{er} avril, l'équivalent en eau de la neige moyen dans le bassin de la rivière Alsek est estimé à **140 %** de la **médiane historique**, soit à **196 mm** (figure B). Il s'agit d'une **accumulation de neige importante** pour la région.

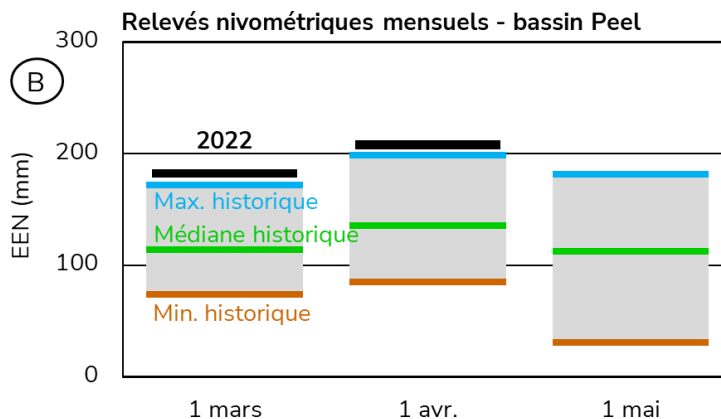


Le débit estimé de la rivière Alsek est actuellement **bien supérieur à la moyenne** (figure E). Les débits élevés dans ce bassin hydrographique dépendent surtout de la fonte des neiges en montagne et de la fonte des glaciers, qui sont grandement influencées par les températures et les précipitations estivales. L'accumulation de neige dans les monts St. Elias entraînera vraisemblablement des **crues printanières supérieures à la moyenne**. Du temps doux ou des anomalies de précipitations au cours des quatre prochains mois pourraient vraisemblablement donner lieu à des **débits de pointe supérieurs à la moyenne**.

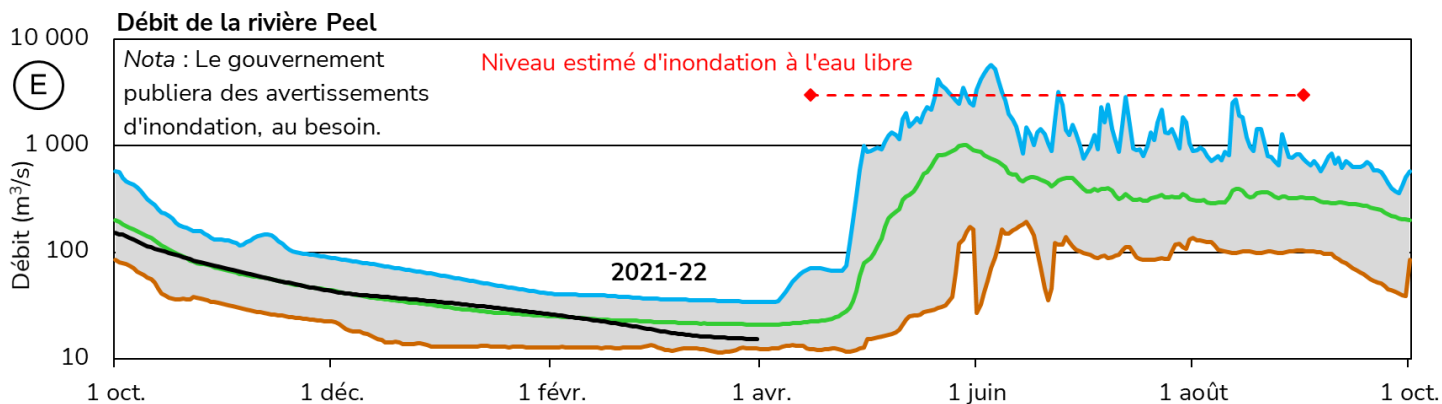


BASSIN DE LA RIVIÈRE PEEL

Au 1^{er} avril, l'équivalent en eau de la neige moyen dans le bassin de la rivière Peel est estimé à **150 %** de la **médiane historique**, soit à **208 mm** (figure B). Il s'agit de l'**estimation de l'accumulation de la neige la plus élevée jamais enregistrée** pour ce bassin (depuis 1980).

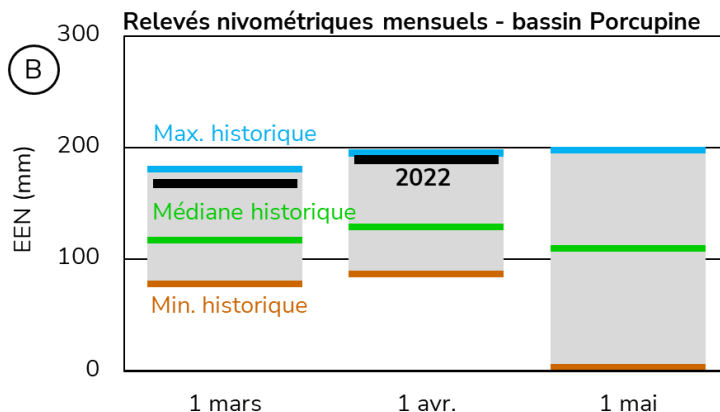


Le débit estimé de la rivière Peel est **inférieur à la moyenne** (figure E). L'accumulation de neige **record** dans le bassin indique que les **probabilités de crues importantes sont élevées**, notamment dans les cours d'eau qui traversent la route Dempster.

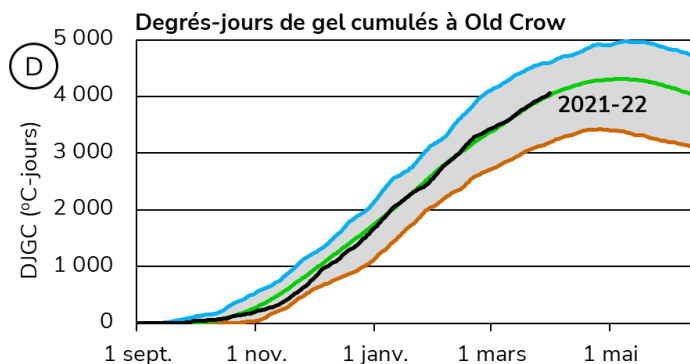
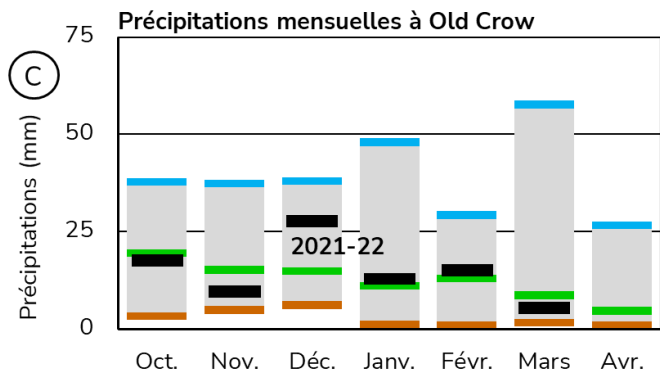


BASSIN DE LA RIVIÈRE PORCUPINE

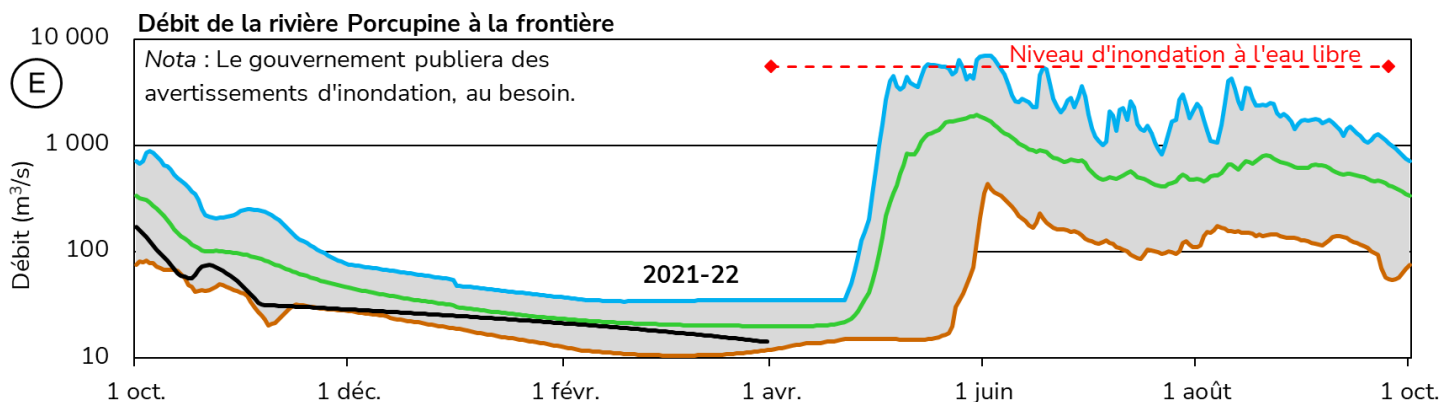
Au 1^{er} avril, l'équivalent en eau de la neige moyen dans le bassin de la rivière Porcupine est estimé à **144 %** de la **médiane historique**, soit à **189 mm** (figure B). Il s'agit d'une **accumulation de neige importante** pour la région.



Toujours au 1^{er} avril, les précipitations cumulatives à l'aéroport d'Old Crow sont **près de la médiane** (figure C) et correspondent à **90 %** des normales climatiques pour la période d'octobre à mars. Les degrés-jours de gel cumulés sont **près de la moyenne**, soit à 4 050 °C-jours (figure D), ce qui porte à croire que l'épaisseur du couvert de glace sur les rivières et les lacs de la région est **près de la moyenne**. Celui-ci n'a pas encore commencé à se dégrader.



Le débit estimé de la rivière Porcupine est **inférieur à la moyenne** (figure E). L'accumulation de neige dans le bassin hydrographique, qui est **bien supérieure à la médiane**, augmente les **probabilités de crues printanières importantes**, qui pourraient suivre un adoucissement soudain et continu de la température de l'air, **favorable à la formation d'embâcles**.



BASSINS HYDROGRAPHIQUES ET RELEVÉS NIVOMÉTRIQUES

Date d'échantillonnage : 2022-04-01

Nom	Identifiant	Élévation (m)	Date du relevé	Épaisseur de neige en 2022 (cm)	Contenu en eau (EEN) (mm)	Année dernière EEN (mm)	Médiane historique EEN (mm)	N ^{bre} d'années de données
Bassin de la rivière Alsek								
Lac Canyon	08AA-SC01	1160	2022-03-28	69	188 R	137	86	43
Ruisseau Alder	08AA-SC02	768	2022-03-31	84	222	215	146	41
Lac Aishihik	08AA-SC03	945	2022-03-28	60	162 R	130	73	28
Ferme Haines Junction	08AA-SC04	610	2022-04-01	46	97	190	83	21
Summit	08AB-SC03	1000	2022-04-01	112	295	428	252	39
Bassin du fleuve Yukon								
Tagish	09AA-SC01	1080	2022-03-31	81	203	234	150	45
Mont Montana	09AA-SC02	1020	2022-03-30	72	171	271	145	42
Point ferroviaire Log Cabin (C.-B.)	09AA-SC03	884	2022-03-28	150	485	786	363	58
Atlin (C.-B.)	09AA-SC04	730	2022-03-29	53	136	240	109	56
Mont McIntyre B	09AB-SC01B	1097	2022-03-30	107	265 R	235	157	44
Aéroport de Whitehorse	09AB-SC02	700	2022-03-28	68	183	180	102	55
Ruisseau Meadow	09AD-SC01	1235	2022-03-31	171	470 R	354	277	44
Lac Jordan	09AD-SC02	930	2022-03-30	93	226	217	133	35
Lac Morley	09AE-SC01	824	2022-03-28	90	248 R	244	139	32
Mont Berdoe	09AH-SC01	1035	A.R.	-	-	139	101	45
Lac Satasha	09AH-SC03	1106	2022-03-29	74	169 R	120	96	35
Ruisseau Williams	09AH-SC04	914	2022-03-29	90	203 R	128	96	27
Ruisseaux Twin B	09BA-SC02B	900	2022-03-30	119	307 R	186	146	6
Rivière Hoole	09BA-SC03	1036	2022-03-30	95	225	269	133	45
Lac Burns	09BA-SC04	1112	2022-03-30	142	395 R	293	230	36
Piste d'atterrissage Finlayson	09BA-SC05	988	2022-03-30	85	218 R	171	100	35
Lac Fuller	09BB-SC03	1126	2022-03-30	113	262	221	194	35
Lac Russell	09BB-SC04	1060	2022-03-31	145	384 R	249	222	35
Ruisseau Rose	09BC-SC01	1080	2022-03-29	89	210 R	174	110	28
Mont Nansen	09CA-SC01	1021	2022-03-29	70	159 R	101	79	46
MacIntosh	09CA-SC02	1160	2022-03-29	83	197 R	103	99	46
Piste d'atterrissage Burwash	09CA-SC03	810	2022-03-31	46	93	54	46	43
Ruisseau Beaver	09CB-SC01	655	2022-03-31	91	213 R	131 E	82	45
Mont Chair	09CB-SC02	1067	2022-03-31	81	168	121 E	100	30
Ruisseau Casino	09CD-SC01	1065	2022-03-29	114	280 R	154	124	44
Ferme Pelly	09CD-SC03	472	2022-03-29	69	182 R	114	78	35

« E » – Estimation; « B » – Date du relevé en dehors de la plage d'échantillonnage valide; « A.R. » – Aucun relevé, « R » – Nouveau record.

BASSINS HYDROGRAPHIQUES ET RELEVÉS NIVOMÉTRIQUES

Date d'échantillonnage : 2022-04-01

Nom	Identifiant	Élévation (m)	Date du relevé	Épaisseur de neige en 2022 (cm)	Contenu en eau (EEN) (mm)	Année dernière EEN (mm)	Médiane historique EEN (mm)	N ^{bre} d'années de données
Bassin du fleuve Yukon								
Piste d'atterrissage Plata	09DA-SC01	830	2022-03-31	118	308 R	245	192	44
Lac Withers	09DB-SC01	975	2022-03-31	120	287	247	224	36
Lac Rackla	09DB-SC02	1040	2022-03-31	114	243	170	190	35
Aéroport de Mayo A	09DC-SC01A	540	2022-04-01	74	167 E	79 E	95	49
Aéroport de Mayo B	09DC-SC01B	540	2022-04-01	71	180	138 E	111	32
Lac Edwards	09DC-SC02	830	2022-03-31	109	259 R	215	156	35
Calumet	09DD-SC01	1310	2022-04-01	116	273	184	186	41
Dôme King Solomon	09EA-SC01	1070	2022-03-28	135	370 R	180 E	166	45
Ruisseau Grizzly	09EA-SC02	975	2022-03-29	100	249	189	172	46
Dôme Midnight	09EB-SC01	855	2022-03-28	125	306 R	168	154	47
Boundary (Alaska)	09EC-SC02	1005	2022-04-02	114	315 R	119	127	49
Bassin de la rivière Porcupine								
Chaînon de Riff	09FA-SC01	650	2022-03-30	100	212	129	147	34
Eagle Plains	09FB-SC01	710	2022-03-30	107	238	144	165	38
Rivière Eagle	09FB-SC02	340	2022-03-30	92	204 R	123	133	36
Old Crow	09FD-SC01	299	2022-03-29	74	171	106	118	39
Bassin de la rivière Liard								
Aéroport de Watson Lake	10AA-SC01	685	2022-03-28	125	312 R	192	127	57
Piste d'atterrissage Tintina	10AA-SC02	1067	2022-03-30	136	368 R	316	195	44
Piste d'atterrissage Pine Lake	10AA-SC03	995	2022-03-28	141	400 R	304	223	44
Lac Ford	10AA-SC04	1110	2022-03-30	131	348 R	285	185	35
Rivière Frances	10AB-SC01	730	2022-03-28	123	290	217	151	47
Rivière Hyland	10AD-SC01	855	2022-03-30	117	303	280	176	45
Rivière Hyland B	10AD-SC01B	880	2022-03-30	123	311	317	206	4
Bassin de la rivière Peel								
Rivière Blackstone	10MA-SC01	920	2022-03-30	87	183 R	123	105	46
Rivière Ogilvie	10MA-SC02	595	2022-03-30	88	176	121	104	44
Lac Bonnet Plume	10MB-SC01	1120	2022-03-31	100	203	167	166	35
Relevés nivométriques en Alaska								
Eaglecrest	08AK-SC01	305	2022-04-01	182	719 E	907	492	40
Pont Moore Creek	08AK-SC02	700	2022-04-01	193	587	856	508	29

« E » – Estimation; « B » – Date du relevé en dehors de la plage d'échantillonnage valide; « A.R. » – Aucun relevé, « R » – Nouveau record.

Emplacement des stations nivométriques

